

## فهرست

۱.....	مقدمه
۲.....	منیزیم - آلمینیوم
۳.....	گاز زدایی به وسیله اولتراسونیک
۴.....	mekanizm hāi tāshir oltrasonik br jowāne zni
۶.....	tāshir umiliat oltrasonik br rīz-saxtar
۱۳.....	mekanizm hāi mothr br rīz-saxtar tr-kiyāt bīn flzrī
۱۴.....	tāshir umiliat oltrasonik br khawāṣ makanīkī
۱۵.....	natiyeh gīrī
۱۶.....	Mārajū

## مقدمه

مهندسين در تلاش هستند تا بتوانند در صنایع هواپیماسازی و خودرو سازی و بسیاری از موارد دیگر از فلزات سبک استفاده کنند و راندمان کاري وسایل را بالا ببرند. عمليات آلتراسونيك يکی از روشاهای دیناميکی موثر برای عمليات بر روی مذاب و انجماد فلز می باشد.

امواج آلتراسونيك امواجي هستند با فرکانس بيش از 20KHz که کاربردهای مختلفی دارند. نظریه بهبود کیفیت فلز ریختگی بوسیله نوسان ساز الاستیکی، که با ایجاد ارتعاش مکانیکی بر روی فولاد در حین انجماد انجام شد، در سال ۱۸۷۸ بوسیله Chernove، متالورژیست بر جسته روسی مطرح شد، هر چند که تاثیر نوسان ساز آلتراسونيكی بر روی ساختار و خواص مواد تا سال ۱۹۲۰ مورد تحقیق و بررسی قرار نگرفته بود.

Boyle در سال ۱۹۲۲ و Sporoule در سال ۱۹۲۹ امکان گاز زدایی فلزات سبک بوسیله آلتراسونيك را گزارش دادند. نخستین آزمایشاتی که در مورد تاثیر آلتراسونيك بر روی انجماد فلزات مذاب گزارش شده به سال ۱۹۳۶ بر می گردد، زمانی که Sokolov آزمایشات خود را بر روی فلزات آلومینیوم، روی و قلع ارائه داد. جزئيات مقالات در مورد آلتراسونيك و عمليات ویراسيون بر روی فلزات در سال ۱۹۸۱ توسط Campbell، در سال ۱۹۹۴ توسط Abramov و در سال ۱۹۸۸ بوسیله Eskin که از بر جسته ترین محققین در اين زمينه هستند، ارائه شده است.

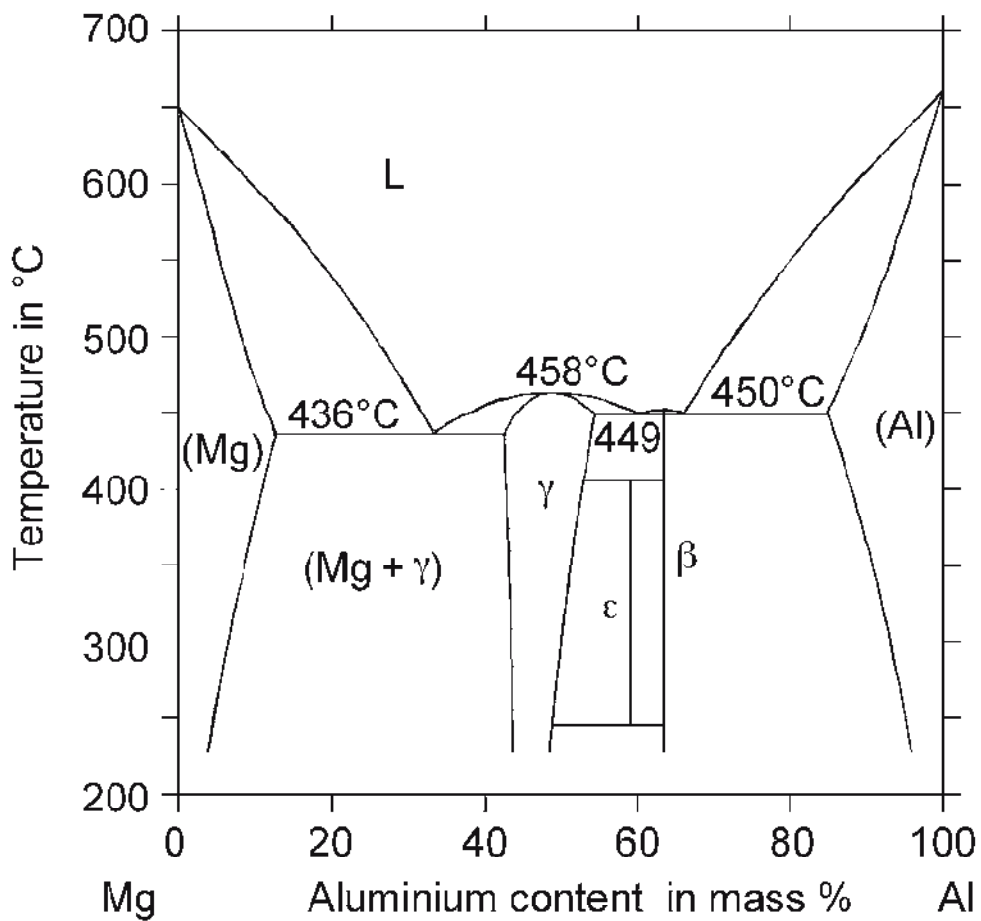
به طور کلی بررسی بر روی آلتراسونيك از نظر متالورژیکی طی سالهای مختلف تحت تحقیقات وسیعی در کشورهای گوناگون از به طور کلی بررسی بر روی آلتراسونيك از نظر متالورژیکی طی سالهای مختلف تحت تحقیقات وسیعی در کشورهای گوناگون از Al و آلیاژهای آن صورت گرفته است و هنوز هم این مبحث در جهت پیشبرد آن مورد مطالعه بسیاری از محققین قرار دارد.

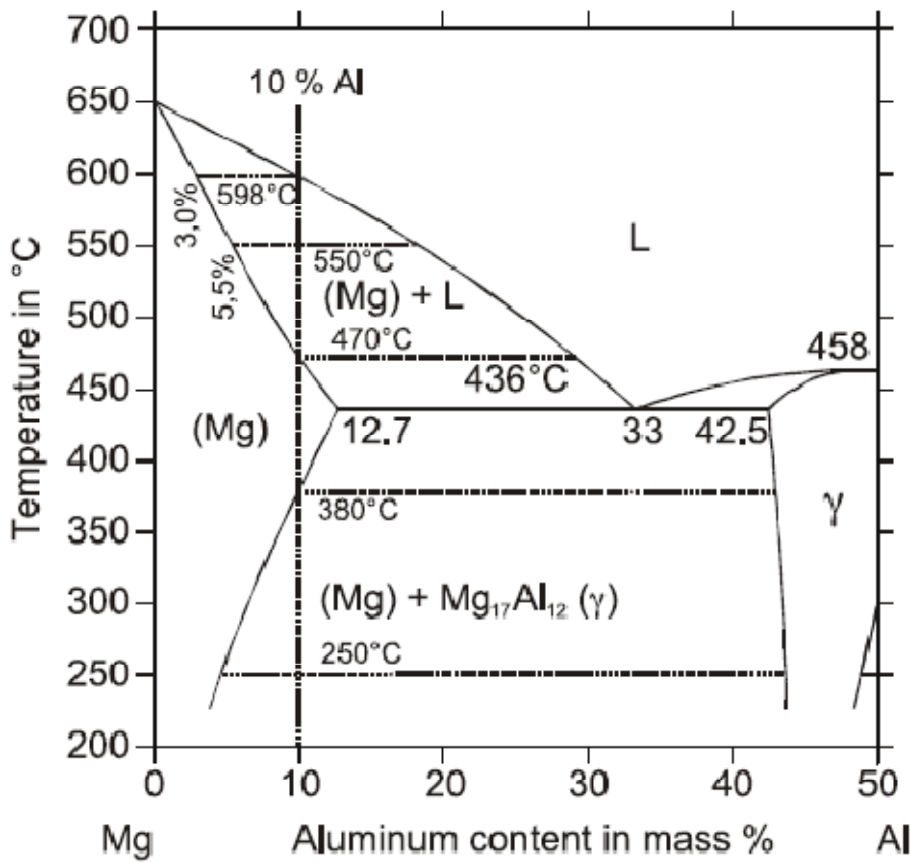
تحقیقات انجام شده نشان داده است که تحت عمليات آلتراسونيك علاوه بر گاز زدایی، ساختار دندريتی از بین می رود و ساختار ریزدانه با دانسیته بالا ایجاد خواهد شد که بسیار مطلوب می باشد. که این خواص باعث بهبود انعطاف پذیری قطعه ریختگی و همگنی ساختار آن، بدون کاهش استحکام می شود. [1]

## منیزیم - آلمینیوم

آلمنیوم یکی از مهمترین عنصر آلیاژی در منیزیم است. بسیاری از سیستم ها تا ۱۵٪ جرمی آلمینیوم دارند مانند AZ، AE، AM، AS. شکل سیستم Al-Mg را نشان می دهد. Al یکی از محدود فلزاتی است که به آسانی در منیزیم حل می شود. حد حلایت بالاتر باعث رسوب  $Mg_{17}Al_{12}$  که یک فاز بین فلزی ترد است می گردد. حد حلایت آلمینیوم در دمای یوتکنیک ۱۱.۵٪ اتمی (۱۲٪ جرمی) است و تا حدود ۱٪ در دمای اتاق پایین می آید. در نتیجه  $Mg_{17}Al_{12}$  نقشی اساسی در تعیین خواص بازی می کند. آلیاژ های تجاری بر پایه Mg-Al شامل مقادیر بیشتری عنصر آلیاژی روی هستند. مانند AZ91،

[2] AZ63 و AZ81





شکل ۱. دیاگرام فازی منیزیم - آلمینیوم

### گاز زدایی به وسیله اولتراسونیک

گاز زدایی از مایع و مذاب های نقطه پایین در سال ۱۹۳۰ توسط واکنش های اولتراسونیک اشکار گردید. تحقیقات نشان دهنده حذف موثر هیدروژن از مذاب های Al و منیزیم وقتی که عملیات اولتراسونیک همراه با گسترش حفره زایی باشد است.

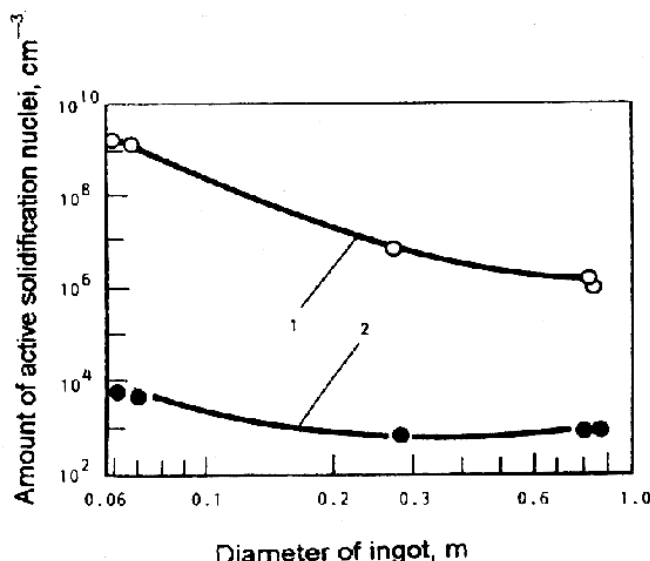
در مذاب فلزات ذرات ریز معلق وجود دارند که توسط مذاب تر نمی شوند و نسبت هیدروژن ازad بر روی سطح این ذرات بسیار ریز کمتر از ۱٪ است. این مقدار برای حفره زایی اولیه کافی اند. علاوه بر این بر روی سطوح اکسیدی موجود در مذاب فلزات که ترشوندگی خوبی ندارند و هیدروژن ها جذب سطحی سطوح این عیوب می شوند.

با عملیات اولتراسونیک نفوذ گازها در یک جهت واحد از مایع به حباب اتفاق می‌افتد. این نفوذ جهت‌دار اضافه بر نفوذ گازهای جذب شده در مذاب باعث بهبود تشکیل حباب‌ها در مذاب شده و با رسیدن حباب‌ها به اندازه‌ای مشخص بر روی سطح مایع شناور می‌شوند. [3]

### مکانیزم‌های تاثیر اولتراسونیک بر جوانه زنی

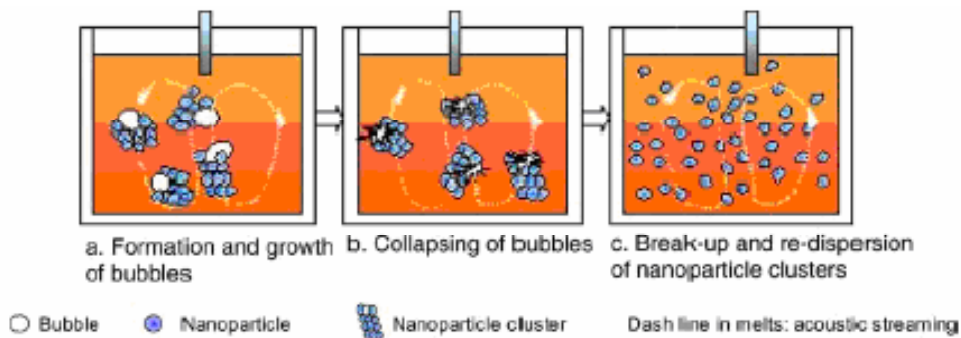
تاثیر آلترا صوئیک بر جوانه زنی دانه‌ها بوسیله ایجاد حفرات (cavitation)، با مکانیزم‌های زیر مطرح شده است:

- ۱- حفرات ایجاد شده، سطح ذرات که آغشته پذیری ضعیفی با مذاب دارند را تمیز کرده و بنابراین جوانه زنی غیر همگن در آنها انجام می‌شود و ساختار دانه ریز را خواهد شد. [4]
- ۲- طبق رابطه کلازیوس - کلپرون با ایجاد فشارهای موضعی، دمای ذوب آلیاژ در برخی نقاط افزایش می‌یابد و بنابراین مقدار تحت تبرید مذاب را افزایش داده و در نتیجه باعث افزایش جوانه زنی می‌گردد که نهایتاً منجر به ایجاد ساختار دانه ریز می‌شود.
- ۳- در نیمه پریود فشاری (انقباضی) این حفرات، زمانی که حباب‌های با فشار بالا متلاشی می‌شود، باعث متلاشی شدن دانه‌های درشت و ریز شدن آنها و جوانه زنی دانه‌های ریز می‌شود، که این تاثیر در شکل (۲) نشان داده شده است. [5]



شکل ۲- سیستمهای آلیاژی Al-Zn-Mg-Cu-Zr (۱) ریخته گری با UST (۲) ریخته گری بدون UST

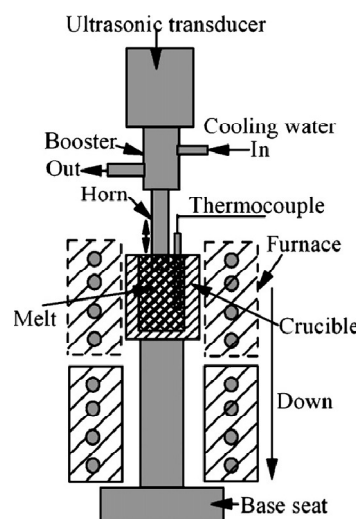
همانگونه که در شکل ۳ مشاهده می شود در اثر مکانیزم حفره زایی، جبابهایی ایجاد می شود که در اثر انفجار آنها جدا شدن و توزیع ذرات رخ می دهد و علاوه بر آن سطح ذرات تمیز شده و ترشوندگی آنها افزایش می یابد.



شکل ۳- شماتیکی از تاثیر حفره زایی بر توزیع و ترشوندگی نانو ذرات در فلز مذاب

روش آنجام آزمایش بدین صورت بود که پس از تهیه مذاب AZ91 تحت محافظت پوشش فلاکسی با نام تجاری MAGREX، مذاب به دمای  $700^{\circ}\text{C}$  رسانده شده و به مدت زمان ۵ دقیقه در این دمای ثابت، توسط دستگاهی با توان اسمی  $600\text{ W}$  و فرکانس  $20\text{ KHz}$  تحت عملیات اولتراسونیک با توانهای  $20, 40, 60$  و  $80$  درصد قرار گرفت و نهایتاً پس از ریخته گری در قالب ماسه  $\text{CO}_2$  تغییرات ساختاری در هر کدام از این شرایط بررسی می شد. پارامترهای مورد بررسی شامل اندازه دانه ها، اندازه ، شکل و پیوستگی فازهای  $\text{Mg}_{17}\text{Al}_{12}$ ،  $\text{MnFeAl}(\text{Si})$  و  $\text{Mg}_2\text{Si}$  بود.

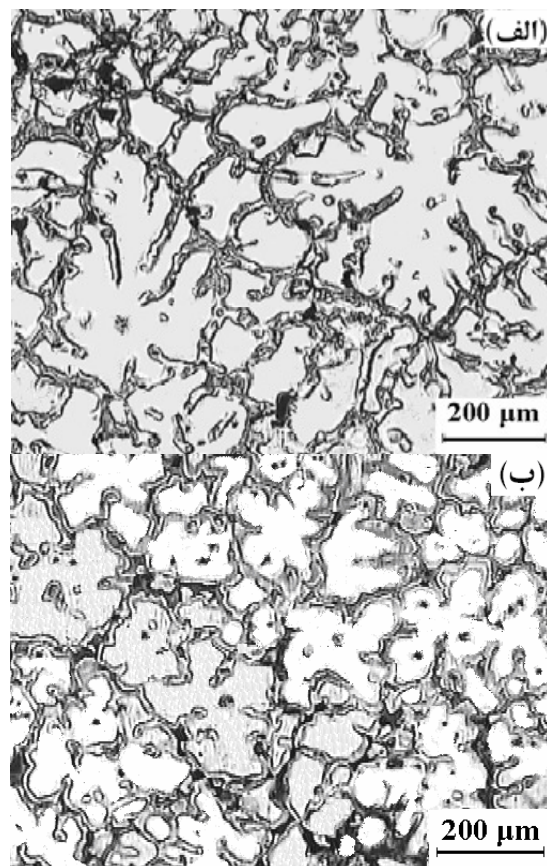
شکل شماتیکی از دستگاه آلتراсонیک مورد استفاده در این تحقیق در شکل (۴) آورده شده است.[4]



شکل ۴- شکل شماتیک از دستگاه آلتراسونیک مورد استفاده.

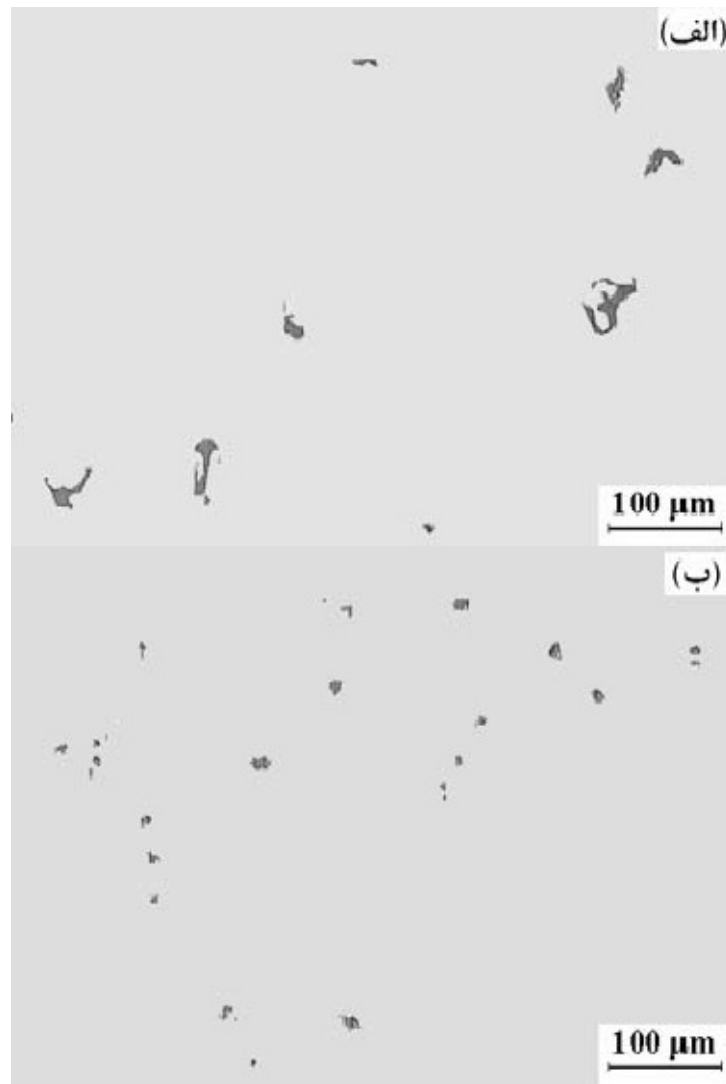
### تأثیر عملیات اولتراسونیک بر ریزساختار

شکل (۵) ریز ساختار را در دو نمونه با و بدون UTS نشان می دهد، در شکل ۵ (الف) که بدون عملیات آلتراسونیک می باشد، دانه ها درشت تر است در حالی که در شکل ۵ (ب) که به مدت ۵ دقیقه و در دمای ۷۰۰ درجه سانتیگراد تحت UTS با توان ۶٪ قرار گرفته، دیده می شود که اندازه دانه ها ریز تر و یکنواخت تر شده است و همچنین شکل دندانیتها تحت UTS بیشتر به صورت دانه های هم محور ریز در آمده است. علل این تغییرات عبارتند از افزایش آغشته پذیری سطح ذرات و در نتیجه افزایش مکانهای جوانه زنی غیر همگن، افزایش دمای مذاب در برخی نقاط در اثر ایجاد فشارهای موضعی و بنابراین افزایش تحت تبرید مذاب و همچنین متلاشی شدن حبابهای ایجاد شده در اثر عملیات آلتراسونیک در نیمه پریود فشاری که سبب ریز شدن و متلاشی شدن دانه های درشت می شود.



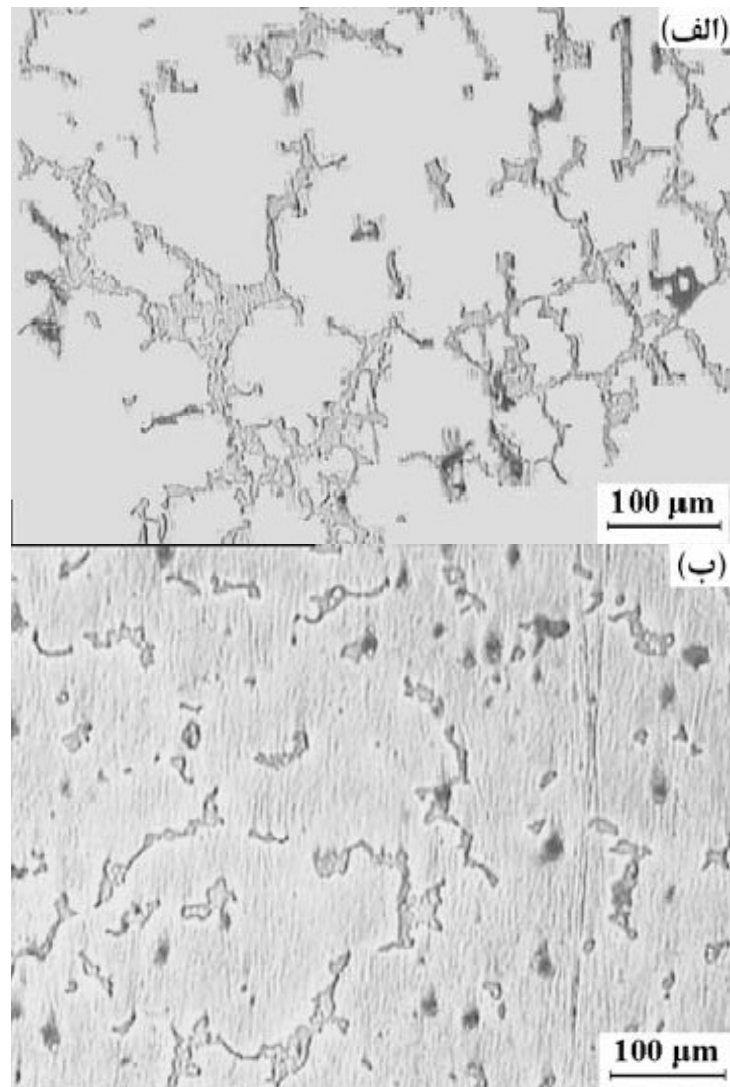
شکل ۵- ریزساختار AZ91 در دمای ۷۰۰ درجه سانتیگراد: (الف) بدون UST (ب) تحت UST با توان ۵٪ به مدت ۵ دقیقه.

در این پژوهش فازهای  $Mg_2Si$ ,  $Mg_{12}Al_{17}$  و  $MnFeAl(Si)$  نیز مورد بررسی قرار گرفتند. شکل (۶) نمونه‌ای از تغییرات دانه‌های فاز  $Mg_2Si$  روی سطح مقطع اچ نشده را نشان می‌دهد. مشاهده می‌شود که با افزایش توان اولتراسونیک،  $Mg_2Si$  موجود در ساختار، به صورت کروی و ریز در می‌آید.



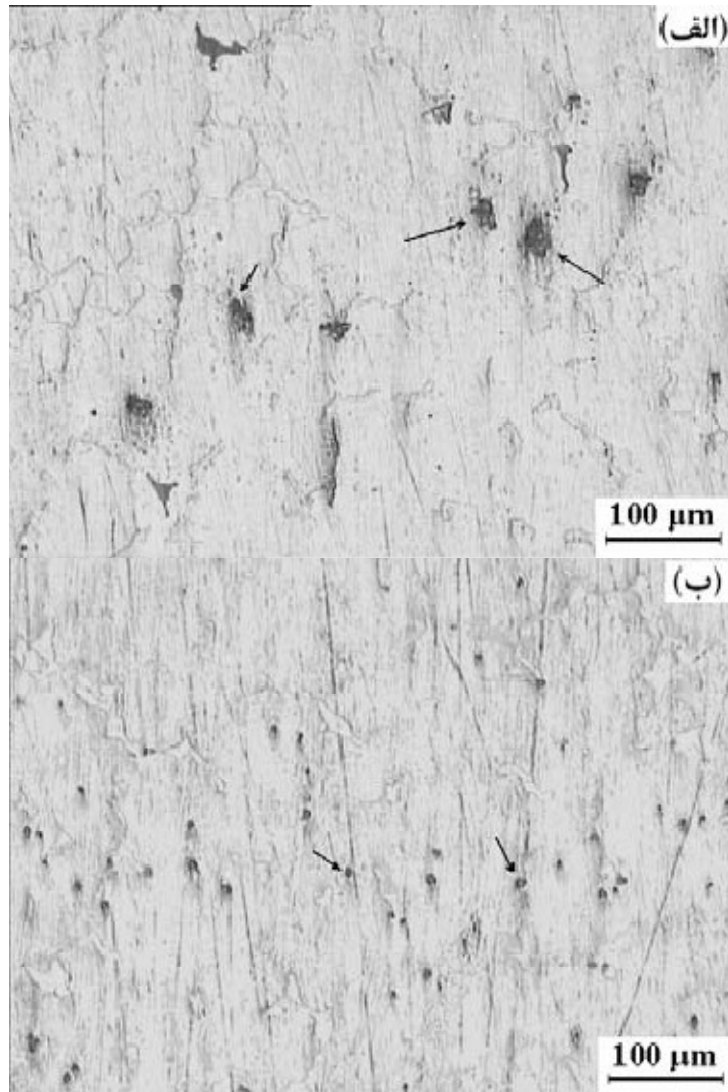
شکل ۶- فاز  $Mg_2Si$  (الف) بدون UST و (ب) ۵ دقیقه UST با توان ۵٪.

شکل (۷) تاثیر UST بر پیوستگی فاز  $Mg_{17}Al_{12}$  را نشان می دهد. همانگونه که در این شکل دیده می شود، با اعمال UST از پیوستگی فاز  $Mg_{17}Al_{12}$  کاسته می شود و علاوه بر این ضخامت ان هم کاهش می یابد.



شکل ۷- فاز  $Mg_{17}Al_{12}$ : (الف) بدون UST و (ب) ۵ دقیقه UST با توان ۲۰٪ در دمای ۷۰۰ درجه سانتیگراد

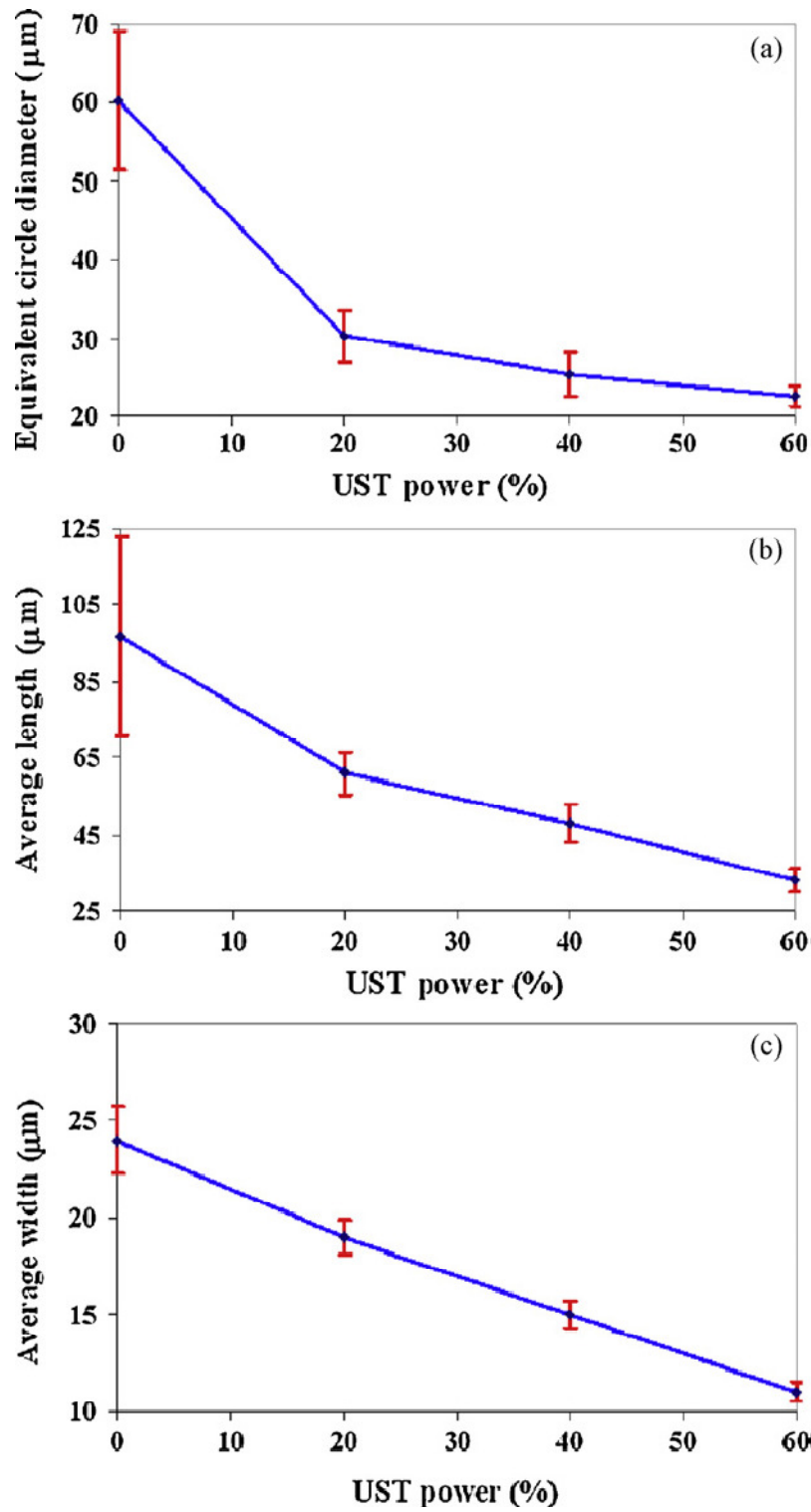
شکل (۸) تاثیر UST بر اندازه فاز MnFeAl(Si) را در ساختار نشان می دهد. همانگونه که مشاهده می شود، در اثر عملیات اولتراسونیک، اندازه فاز MnFeAl(Si) که عموماً به صورت گرد می باشد نیز ریزتر می شود.



شکل ۸- فاز (MnFeAl(Si)) : (الف) بدون UST و (ب) ۵ دقیقه UST با توان ۶۰٪ در دمای ۷۰۰ درجه سانتیگراد.

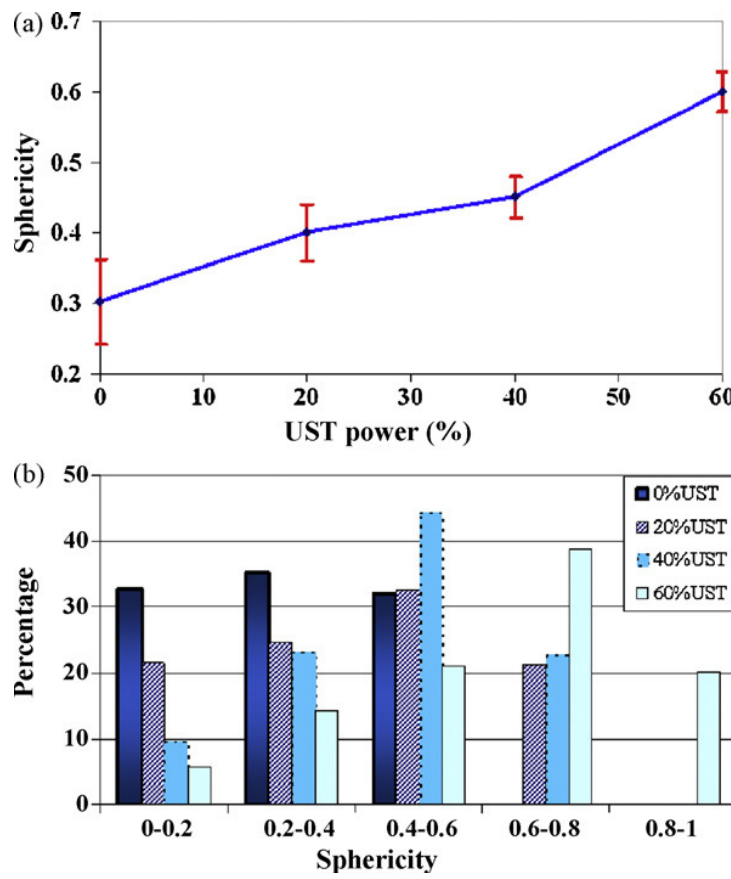
در اینجا مکانیزم حاکم، متلاشی شدن حفرات در نیمه زمانی فشاری(انقباضی) می باشد که سبب ریز شدن فازها و همچنین ریز شدن شبکه پیوسته  $Mg_{17}Al_{12}$  می گردد. [5]

تاثیر قدرت UTS بر قطر معادل میانگین، طول و عرض ذرات  $Mg_{17}Al_{12}$  در شکل ۹ نشان داده شده است. در شکل ۱۰ تاثیر قدرت اولتراسونیک کاربردی بر (a) کرویت (b) توزیع درصد کرویت ذرات  $Mg_{17}Al_{12}$  نشان داده شده است.

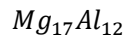


شكل ۹- تأثیر قدرت اولتراسونیک کاربردی بر (a) قطر معادل دایره (b) میانگین طول میانگین

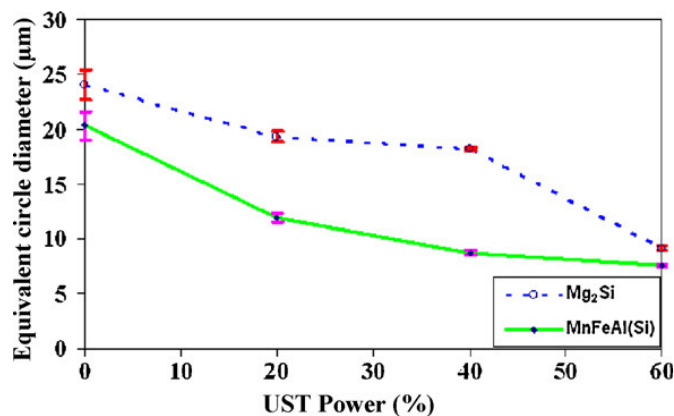
عرض ذرات (c)  $Mg_{17}Al_{12}$



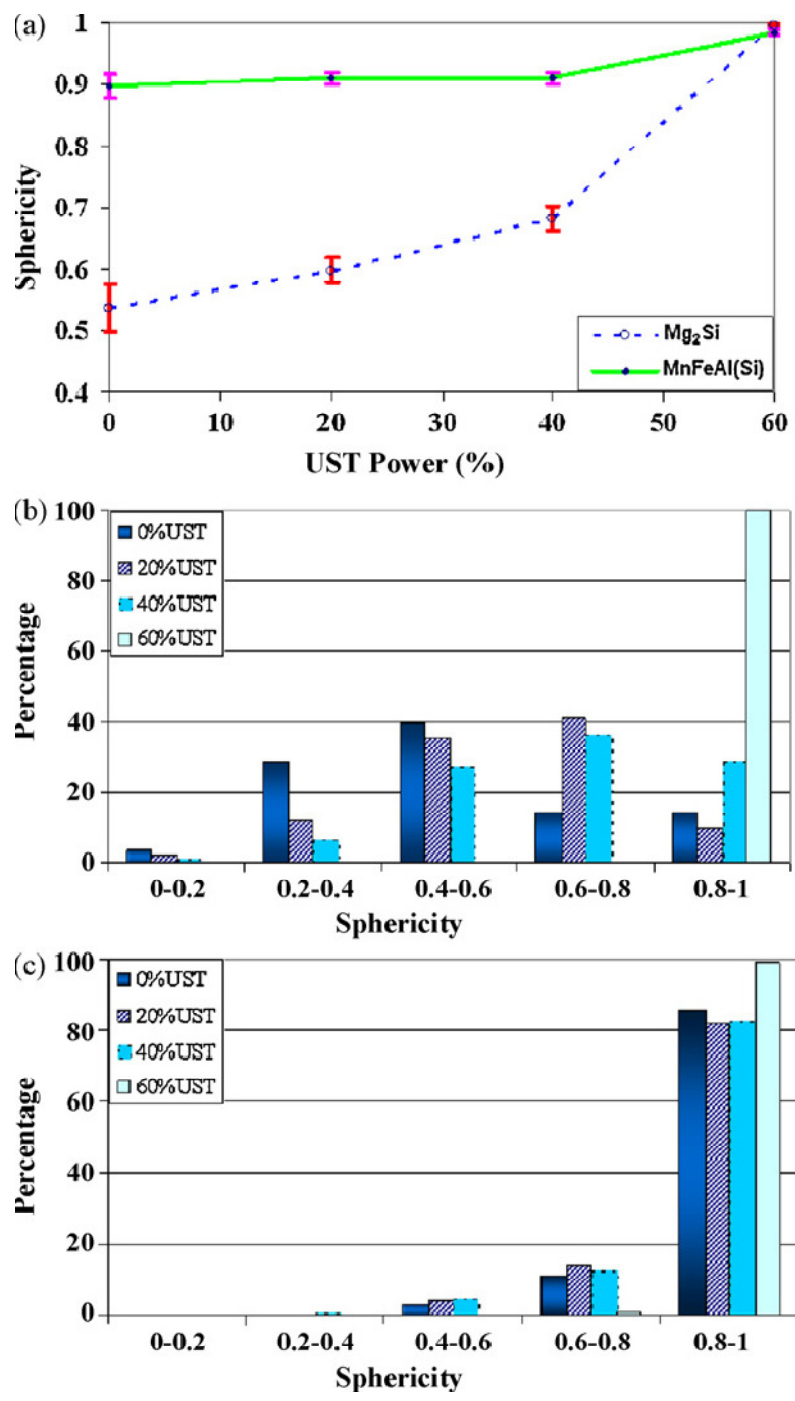
شکل ۱۰- تاثیر قدرت اولتراسونیک کاربردی بر (a) کرویت (b) توزیع درصد کرویت ذرات



شکل ۱۱ و ۱۲ نیز کاهش اندازه ذرات  $Mg_2Si$  و افزایش تمايل ذرات به کروی شدن با افزایش توان اولتراسونیک را نشان می دهد. به کار بردن ۶۰٪ از توان ماکریزم، بیشترین ذرات ریز را تولید کرده و کرویتی بین ۸۰٪ تا ۱۰٪ دارند. شکل ۱۱ تاثیر توان اعمالی بر  $MnFeAl$  را نشان می دهد.



شکل ۱۱- تاثیر قدرت اولتراسونیک اعمالی میانگین قطر معادل ذرات  $Mg_2Si$  و  $MnFeAl(Si)$



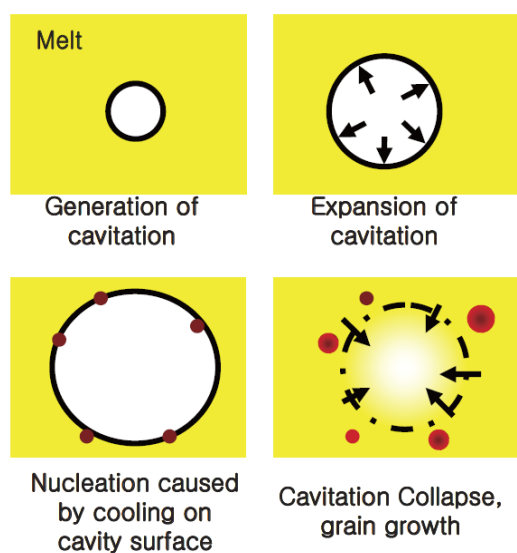
شكل ١٢- تأثير اولتراسونيک بر (a) كرويّت ذرات  $Mg_2Si$  و  $MnFeAl$  (b) توزيع درصد كرويّت ذرات  $Mg_2Si$  (c) توزيع درصد كرويّت ذرات  $MnFeAl(Si)$

## مکانیزم های موثر بر ریزساختار ترکیبات بین فلزی

۱- مکانیزم اصلی که شکل و اندازه ذرات فازهای بین فلزی را تغییر می دهد، پدیده حفره زایی است که سطح ذرات خارجی در مذاب را تمییر می کند و ترشوندگی ذرات توسط مذاب را بهبود می بخشد. بنابراین افزایش جوانه های ناهمگن فاز بین فلزی می گردد. این مکانیزم عمومی موثر بر هر سه فاز بین فلزی در آلیاژ است.

۲- مکانیزم موثر دیگر برای هر سه فاز بین فلزی، از هم پاشیدگی و توزیع ذرات جوانه های موجود کلوخه شده در مذاب توسط حفره زایی است و مکان های مناسب جوانه زنی موثر را افزایش می دهد.

۳- کاهش دمای سطحی حباب ها در نیمه زمان انقباضشان است و تبخیر مذاب از سطح حباب ها مکانیزم ممکن دیگر برای اصلاح ریزساختار تحت عملیات اولتراسونیک است. اگر دمای سطح قطره به حدی که فازهای بین فلزی بتوانند بر روی سطح حباب ها جوانه بزنند برسد و ترکیدن حباب را داشته باشیم باعث ریزشدن فازهای بین فلزی و توزیعی یکنواخت تر از فازهای بین فلزی می گردد (شکل ۱۳). [6]



شکل ۱۳- افزایش تعداد مکان های مناسب برای جوانه زنی

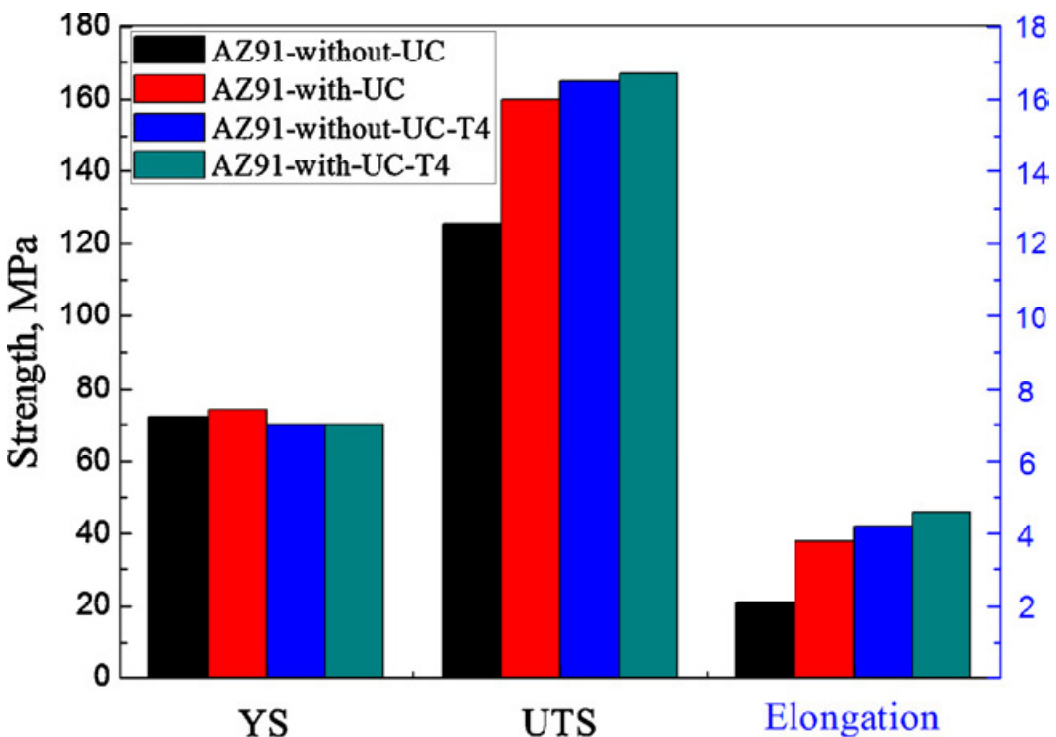
۴- وقتی دمای موضعی در مذاب در نیم دوره ای فشار بر حباب افزایش می یابد و قطعات نازکتر و سطوح تیز فازهای  $Mg_2Si$  و  $MnFeAl$  که نسبتاً در دمای اولتراسونیک شکل می گیرند و

دچار ذوب موضعی شوند. این پدیده تعداد جوانه های موثر بر رشد ذرات بین فلزی را افزایش نمی دهد ولی باعث کروی شدن ذرات می گردد. این مکانیزم برای ذرات  $Mg_{17}Al_{12}$  موثر به نظر نمی رسد.

- فاز  $Mg_{17}Al_{12}$  در مرحله اخیر انجماد در مرزدانه های  $\alpha\text{-Mg}$  شکل می گیرد. مکانیزم دیگری که بر چگالی جوانه زنی ذرات  $Mg_{17}Al_{12}$  تاثیر می گذارد و افزایش مرزدانه های  $\alpha\text{-Mg}$  اولیه را افزایش می دهد و بهبود یکنواختی ترکیب شیمیایی مذاب تحت اولتراسونیک را به همراه دارد که نتیجه اش رسوب فاز  $Mg_{17}Al_{12}$  در مکان های بیشتر و کاهش پیوستگی و اندازه شان می گردد. [5]

### تأثیر عملیات اولتراسونیک بر خواص مکانیکی

در شکل (۱۳) تاثیر اولتراسونیک و عملیات حرارتی محلول سازی بر روی خواص مکانیکی استحکام تسلیم  $\sigma_u$ ، استحکام کششی نهایی  $UTS$  و افزایش طول تاشکست آلیاژ AZ91 نشان داده شده است.



شکل ۱۳- استحکام کششی آلیاژ AZ91 بالرزش اولتراسونیک و بدون لرزش اولتراسونیک و عملیات حرارتی محلول سازی

بر طبق رابطه هال-پچ داریم:  $c_y = \sigma_y + K_y d^{-\frac{1}{2}}$  که  $\sigma_y$  استحکام تسلیم و  $K_y$  ثوابت مواد و  $d$  اندازه دانه متوسط است.  $K_y$  وابسته به تعداد سیستم های است. این عدد برای فلزات با ساختار HCP بالاتر از FCC و Mg BCC است و ساختاری HCP دارد و اندازه دانه با عملیات اولتراسونیک ریز می شود و مزیت اندازه دانه ریزتر بر روی استحکام اشکار می گردد.[7]

## نتیجه گیری

در اثر عملیات آلترا صوپنیک بر روی مذاب، اندازه دانه ها ریزتر شده و شکل آنها از دندانه های ستوانی یا هم محور درشت به دندانه های ریز هم محور تغییر می یابد. اندازه فاز  $Mg_2Si$  در اثر UST کاهش یافته و همچنین شکل آن به سمت کروی شدن پیش می رود. اندازه فاز که عموماً به صورت گرد می باشد نیز در اثر UST ریزتر می شود، و نهایتاً فاز پیوسته  $Mg_{17}Al_{12}$  در اثر عملیات آلترا صوپنیک به صورت ناپیوسته و با توزیع نسبتاً یکنواخت ریز تبدیل می شود که همه این عوامل بر خواص آلیاژ منیزیم AZ91 تاثیر می گذارد.

اصلاح دانه ها تغییر شکل توسط دوقلویی ها را متوقف می کند و تغییر شکل توسط لغزیدن را افزایش می دهد که منجر به افزایش انعطاف پذیری می گردد.[8]

مطالعات قبلی بر روی لرزش اولتراسونیک با شدت بالا در آلیاژ مذاب باعث خلق تعداد زیادی از میکرو تخلخل ها در مذاب نزدیک سطح اولتراسونیک/شاخص ارتعاش می گردد. تعداد تخلخل ها با افزایش توان اولتراسونیک افزایش می یابد. در طول مرحله رشد حفرات کوچک، حجم حفرات افزایش می یابد که فشار داخلی حفرات کاهش می یابد، در دماهای پایینتر تمایل به حفرات کمتر است.[9].

کاهش دما در حفرات و در سطح مشترک مذاب/حفره بمحض فوق تبریدی که برای جوانه زنی ناهمگن محلی فاز جامد ایجاد می گردد. بیشتر حبابهای گازی شکل می گردند و متلاشی می شوند زیرا طبیعت لرزش اولتراسونیک متناوب است. وقتی که حفرات حباب ها متلاشی می شوند، جوانه ها شکل گرفته در فصل مشترک مذاب، در مذاب متفرق می شوند.[8]

## مراجع

- 1- Eskin G.L., “Ultrasonic Treatment of Light alloy melts”, 1998, All-Russia Institute of Light alloys.
- [2] H.E. Friedrich, B.L. Mordike, Magnesium Technology (Metallurgy, Design Data, Applications), Springer, Berlin, 2006.
- [3] G.I. Eskin, “Cavitation mechanism of ultrasonic melt degassing”, All-Russia Institute of Light Alloys, Gorbunov St. 2, Moscow 121596, Russia
- [4] XInbao Liu, Yoshiaki Osawa, Susumu Takamori, Toshiji Mukai, “Microstructure and mechanical properties of AZ91 alloy produced with ultrasonic vibration”, Materials Science and Engineering A 487 (2008) 120–123
- [5] M. Khosro Aghayani, B. Niroumand, “Effects of ultrasonic treatment on microstructure and tensile strength of AZ91 magnesium alloy”, Journal of Alloys and Compounds 509 (2011) 114–122
- [6] Sang-Woo Choi , GooHwa Kim , Jinsu Bae and Young-Deog Kim, “Ultrasonic Treatment for Fragmentation at Solidification of Aluminum Alloy”, ICROS-SICE International Joint Conference 2009
- [7] K.B. Nie, X.J. Wang, K. Wu, M.Y. Zheng, X.S. Hu, “Effect of ultrasonic vibration and solution heat treatment on microstructures and tensile properties of AZ91 alloy”, Materials Science and Engineering A 528 (2011) 7484– 7487
- [8] Deming Gao, Zhijun Li, Qingyou Hanc, Qijie Zhai, “Effect of ultrasonic power on microstructure and mechanical properties of AZ91 alloy”, Materials Science and Engineering A 502 (2009) 2–5
- [9] XInbao Liu, Yoshiaki Osawa, Susumu Takamori, Toshiji Mukai, “Grain refinement of AZ91 alloy by introducing ultrasonic vibration during solidification”, Materials Letters 62 (2008) 2872–2875